

二烯丙基二硫诱导人白血病 K562 细胞凋亡及其对 Bax、Bag-1 表达的影响*

赵 谦 殷小成[△] 彭艳辉

(南华大学附属第一医院儿科 湖南 衡阳 421001)

摘要 目的:探讨二烯丙基二硫(Diallyl disulfide)诱导白血病 K562 细胞凋亡的作用及其机制。方法:采用吖啶橙/溴化乙啶(AO/EB)染色法观察细胞凋亡形态学变化;DNA 琼脂糖凝胶电泳测定 DNA 梯度带;RT-PCR 法检测 BAG-1、BAX 基因的 mRNA 表达变化。结果: DADS 可诱导 K562 细胞凋亡。其对 K562 细胞的凋亡效用与药物浓度、有明显依赖关系;DNA 琼脂糖凝胶电泳示:40mg/L DADS 作用 K562 细胞 48 小时后能够产生明显的梯形电泳图谱(DNA ladder);DADS 作用 48h 后,BAX mRNA 表达水平较对照组上调;BAG-1 mRNA 较对照组下调(差异具有统计学意义 $P < 0.05$)。结论: DADS 能够诱导 K562 细胞凋亡,其凋亡机制可能与上调 BAX,下调 BAG-1 有关。

关键词 二烯丙基二硫;K562 细胞;凋亡

中图分类号:R733.7 文献标识码:A 文章编号:1673-6273(2012)02-231-04

Effects of Diallyl Disulfide on Apoptosis of Human Leukemia k562 Cells and the Expression of Bax and Bag-1*

ZHAO Qian, YING Xiao-cheng[△], PENG Yan-hui

(The First Affiliated Hospital of University of South China, Hengyang 421001, China)

ABSTRACT Objective: To study the effects of diallyl disulfide (DADS) on apoptosis of human leukemia K562 cells and possible mechanisms. **Methods:** The morphologic changes of leukemia K562 after DADS treatment were observed by AO/EB. DNA ladder was showed by agarose gelelectrophoresis. Bax, Bag-1 mRNA expression was estimated by reverse transcription-polymerase chain reaction (RT-PCR) 48 hours after DADS treatment. **Results:** The characteristics of apoptosis in k562 cells induced by DADS were observed. The leukemia K562 was treated with 40mg/L DADS for 48 hours reveal an obvious DNA ladder. Expression of Bax mRNA increased, while Bag-1 mRNA expression decreased significantly after DADS treatment for 48 hours compared with the control group ($P < 0.05$). **Conclusion:** DADS can induce apoptosis of human leukemia K562 cells in a concentration-dependent manner, possibly through increasing Bax expression and decreasing Bag-1 expression.

Key words: Diallyl disulfide; K562 cells; Apoptosis

Chinese Library Classification(CLC): R733.7 **Document code:** A

Article ID: 1673-6273(2012)02-231-04

前言

大蒜(*Allium sativum*L)是百合科属植物的鳞茎,早在公元前 15 世纪,古埃及人就已经认识到大蒜对许多种疾病具有治疗作用,具有抗菌、防癌、抗病毒、降血脂、抗肿瘤、抗氧化、解毒、提高免疫功能的功效^[1-3]。流行病学调查显示,摄入大蒜与众多肿瘤的发生发展成负相关^[4]。二烯丙基二硫(diallyl disulfide, DADS)是大蒜中的一种脂溶性的有效成分。对乳腺癌、皮肤癌、肝癌、肺癌、胃癌、食管癌、结肠癌和白血病等细胞均有抑制作用^[5]。本研究探讨 DADS 诱导人红白血病细胞株 K562 凋亡的机制,为临床应用 DADS 治疗白血病提供理论基础。

1 材料与方法

1.1 实验动物和试剂

DADS 购自 Fluka 公司,按说明书用二甲基亚砜(DMSO)溶解配制,DMSO 终浓度 $< 0.01\%$;小牛血清购自杭州四季青;RPMI-1640 培养基购自 HyClone 公司;Trizol 为美国 GIBCOBRL 公司产品;逆转录试剂盒购自 Fermentas 公司,PCR 试剂盒购自广州东盛生物工程公司,PCR 引物由 Invitrogen 公司合成;AO/EB 染色剂购自江苏碧云天生物技术公司。

1.2 实验方法和步骤

1.2.1 细胞株与细胞培养 K562 细胞株购自第四军医大学实验动物中心,细胞生长于含 10%的灭活新生小牛血清、 $1 \times 10^5 \mu\text{mL}$ 青霉素和 10mg/mL 链霉素的 RPMI-1640 完全培养基中,置于 37°C、5% CO₂ 饱和湿度培养箱内培养,每 2-3 天换液传代。实验分为 2 组:对照组及药物处理组。对照组包括:空白对照组及溶媒对照组,空白对照组不加 DADS,溶媒对照组加入有同最高药物浓度组等量体积的 DMSO,药物处理组加入浓度

* 基金项目 湖南省高校科研经费项目(09C840)

作者简介 赵谦(1983-)男,硕士研究生,主要研究方向:儿童血液病

[△]通讯作者 殷小成,电话:13973427603 E-mail: xcyin108@sina.com

(收稿日期:2011-06-01 接受日期:2011-06-25)

分别为 20 mg/L、40 mg/L、80mg/L DADS。取对数生长期细胞进行实验。

1.2.2 (AO/EB)染色 取对数生长期 K562 细胞 ,用 10%灭活的新生牛血清 RPMI-1640 培养基制成 3.0×10^6 /mL 的单细胞悬液 ,接种于无菌 6 孔培养板中 ,每孔 2ml。48 小时后 ,小心吸去部分上清 ,离心去液体 ,用冷 PBS 洗 2 遍 ,调整细胞浓度至 10^6 /ml 取 1ml 细胞悬液离心收集细胞 ,加入 25 μ l PBS 重新悬浮细胞 ,加 2 μ l AO 染(100 μ g/ml)及 2 μ lEB 染液(100 μ g/ml)混合 ,取 10 μ l 滴于载玻片上盖片封片后在荧光显微镜下观察形态学。

1.2.3 DNA 琼脂糖凝胶电泳 收集细胞 ,用 10%小牛血清的 RPMI-1640 培养基制成 3.0×10^6 /mL 的单细胞悬液 ,接种于无菌 6 孔培养板中 ,每孔 2ml。48 小时后 ,小心吸去部分上清 ,2000r/min 离心 10min 后去上清 ,用冷 PBS 洗 2 遍。将细胞重悬于 0.5ml 裂解缓冲液中 (10mmol/L Tris-HCl, pH7.5, 10 mmol/L NaCl, 10 mmol/LEDTA, 100 μ g/ml 蛋白酶 K 0.5% SDS) ,与 50 $^\circ$ C 孵育 1 小时。然后用等体积的饱和酚抽提 ,10000r/min 离心 10min ,取上层 ,再用等倍体积的氯仿 / 异戊醇 (24:1) 抽提一次 除蛋白 ,10000r/min 离心 10min ,收集水相 ,加入 2.5 体积冰冷无水乙醇及 0.1 体积的 3mol/L 醋酸钠 -20 $^\circ$ C 沉淀 过夜。最后 10000r/min 离心 10min 将沉淀用 70%乙醇洗涤两次 ,空气干燥后 ,溶于 50 μ l 含有 0.1 μ g/ml RNase A 的 TE 缓冲液中。在 1.5%的琼脂糖凝胶电泳 2 小时 ,用凝胶成像系统观察、拍照。

1.2.4 RT-PCR 检测 Bax、Bag-1 基因的表达 根据 AO/EB 染色结果选择凋亡率最明显的 40mg/L 浓度进行 RT-PCR 检测。收集作用 48 小时后的各组细胞 ,按 Trizol 法提取各组细胞总 RNA 取总 RNA 约 2 μ g 逆转录合成 cDNA ,反应体积为 20 μ l。以 β -action 作为内参 ,取上述逆转录产物 2 μ lcDNA 进行 PCR

循环 ,扩增 Bax、Bag-1 基因。 β -action 的上游引物为 : 5-ATCTGGCACCACACCT-3 ,下游引物 5-CGTCATACTCCT-GCTT-3 ; 扩增片段 838bp ,Bax 的上游引物为 5-GAGGAT-GATTGCCGCCGTGGACA-3 ,下游引物 5-GGTGGGGT-GAGGAGGCTTGAGG-3 ,扩增片段 275bp ,Bag-1 的上游引物为 5-AAGCGACCTGGAGTGAAG -3 ;下游引物 5-AGTGCT-GACAACGGTGT-3 扩增片段 330bp。 β -action、Bax 的 PCR 扩增条件为 :94 $^\circ$ C 预变性 2min \rightarrow 95 $^\circ$ C 60s \rightarrow 60 $^\circ$ C 60s \rightarrow 72 $^\circ$ C 90s (循环 30 次) \rightarrow 72 $^\circ$ C 延伸 5min。 Bag-1 的扩增条件为 :95 $^\circ$ C 预变性 2min \rightarrow 95 $^\circ$ C 15s \rightarrow 60 $^\circ$ C 15s \rightarrow 72 $^\circ$ C 15s (循环 40 次) \rightarrow 72 $^\circ$ C 延伸 5min PCR。使用 ScionImage 图像分析软件进行 PCR 产物凝胶电泳图像分析。

1.3 统计学分析

采用 SPSS13.0 统计学软件进行结果处理 ,所有数据均以表示 ,两样本均数的比较采用 t 检验 ,多组比较用单因素方差分析(P<0.05 或 0.01 差异有统计学意义)。

2 结果

2.1 (AO / EB)染色

经 20mg/L、40mg/L、80mg/L 浓度的 DADS 作用 48 小时后 ,K562 细胞在 AO / EB 染色时 ,显微镜下形态学改变(图 1)。正常细胞核染色着绿色 ,并呈圆形或椭圆形 ;凋亡细胞核染色质为橘红色 ,并呈固缩状或圆珠状 ;非凋亡的死亡细胞核染色质着橘红色 ,并呈正常结构。随着 DADS 浓度的加大 ,细胞失去原有形状胞核染色质为橘红色 ,并呈固缩状或圆珠状的 K562 细胞数目逐渐增多 ,甚至形成凋亡小体(箭头所示) ;其中加入浓度为 80mg/LDADS 时细胞核染色质着橘红色 ,并呈正常结构 ,可能是由于高浓度 DADS 导致 K562 细胞坏死所致。

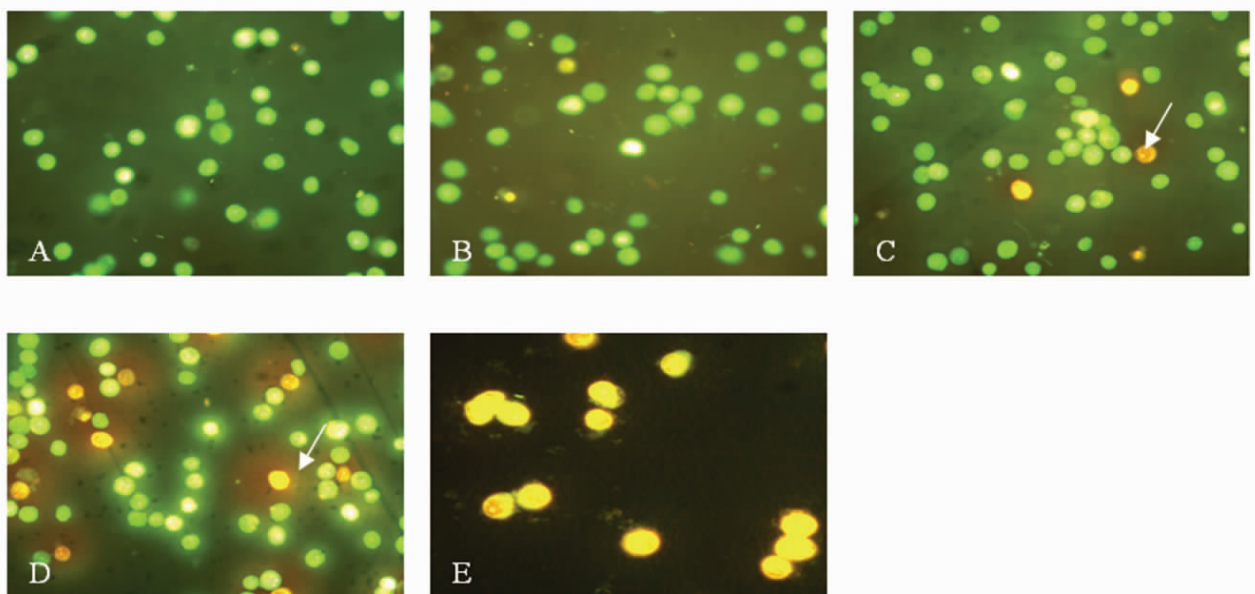


图 1 DADS 作用于 K562 细胞 48 小时后 AO/EB 染色光镜观察(400 \times)

A 空白对照 B 溶酶对照 C~E 20、40、80mg/L DADS 组

Fig. 1 The morphologic changes of leukemia DADS on K562 cell 48 hour after AO/EB staining observed by light microscope(400 \times) A: control group;

B: DMSO group; C~E:20、40、80mg/L DADS group

2.2 DNA 琼脂糖凝胶电泳

分别用 20mg/L、40mg/L、80mg/L 浓度的 DADS 处理细胞 48h 后,提取细胞 DNA 进行琼脂糖凝胶电泳,检测到 40mg/L 浓度细胞发生凋亡时由于 DNA 有规律的降解而出现典型的 DNA 梯形条带(图 2)。

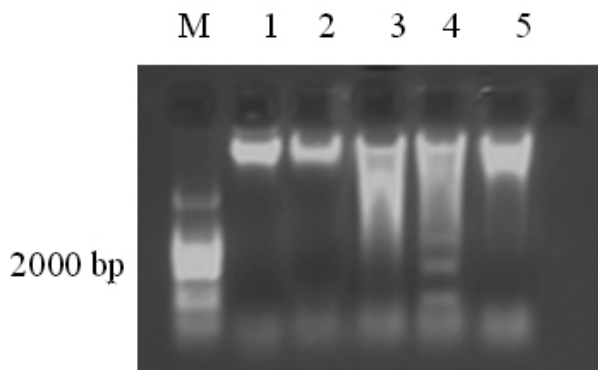


图 2 DADS 作用 K562 细胞 48 小时后 DNA 梯状条带的形成 M marker ;1 :空白对照 2 :DMSO 对照 3~5 :20、40、及 80mg/L 药物处理组

Fig. 2 DADS on K562 cell 48 hour after DNA ladder was showed M:marker; 1:control group; 2:DMSO group; 3~5:20, 40, 80mg/L DADS group

2.3 DADS 诱导 K562 细胞凋亡与 Bax、Bag-1 基因表达的变化

不同浓度的 DADS 作用 K562 细胞 48 h 后,空白对照组的 Bax 基因 RT-PCR 产物相对表达量为 0.55 ± 0.03 ,与 DMSO 溶媒组的表达强度(0.54 ± 0.03)无明显差异,Bax 基因 RT-PCR 产物(275bp 带)随着 DADS 浓度增大明显增多,电泳条带变宽、变亮(图 3A)。20mg/L 浓度组 Bax 的表达强度为 0.68 ± 0.03 ;40mg/L 浓度组 Bax 的表达强度为 1.13 ± 0.04 80mg/L 浓度组 Bax 的表达强度为 0.32 ± 0.02 均高于空白对照组($P < 0.05$),空白对照组的 Bag-1 基因 RT-PCR 产物相对表达量为 1.17 ± 0.04 ,与 DMSO 溶媒组的表达强度(1.15 ± 0.04)无明显差异,Bag-1 基因 RT-PCR 产物(330bp 带)随着 DADS 浓度增大明显增多,电泳条带变窄、变暗(图 3B)20mg/L 组、40mg/L 组、80mg/L 药物处理的 Bag-1 相对表达量(0.70 ± 0.03 , 0.44 ± 0.02 , 0.23 ± 0.01)均明显低于空白对照组($P < 0.05$),见表 1。

3 讨论

Bag-1(Bcl-2-associated athanogene 1)称为 Bcl-2 相关抗凋亡基因 1,是 20 世纪 90 年代初发现的一种抗细胞凋亡基因。它属于分子伴侣家庭成员,分为 4 个亚型,根据分子量大小分别命名为 p29、p33、p46 和 p50。Bag-1 在人体大部分正常组织中呈微弱表达或不表达,但在大多数肿瘤细胞(如乳腺癌、肾

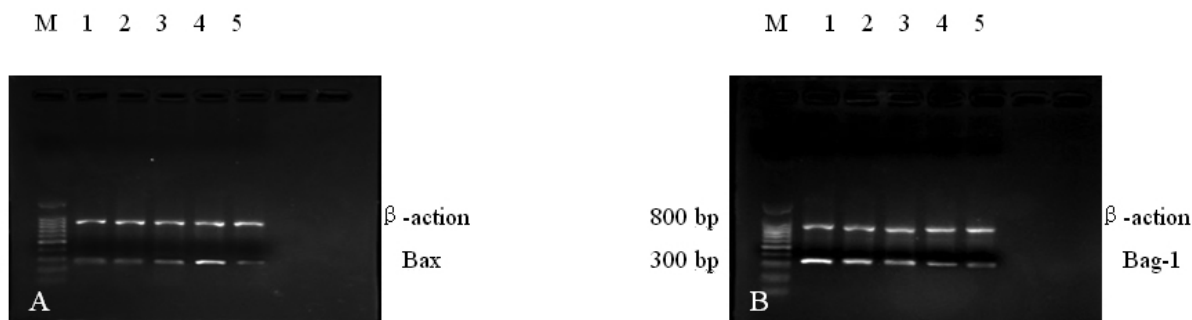


图 3 RT-PCR 法检测 Bag-1、Bax mRNA 表达情况

M marker ;1 :空白对照 2 :DMSO 对照 3~5 :20、40、及 80mg/L 药物处理组

Fig. 3 RT-PCR detection the expression of Bag-1、Bax mRNA

M:marker; 1:control group; 2:DMSO group; 3~5:20, 40, 80mg/L DADS group

表 1 DADS 作用 K562 细胞 48 小时后 Bag-1 和 Bax mRNA 表达的情况

Table1 After treated with DADS for 48h the expression of Bax and Bag-1 mRNA

	Contrast group		DADS group(mg/L)		
	Control	DMSO	20	40	80
$V_{bag-1}/V_{\beta-actin}$	1.17 ± 0.04	1.15 ± 0.04	0.70 ± 0.03^a	0.44 ± 0.02^{ab}	0.23 ± 0.01^{abc}
$V_{bax}/V_{\beta-actin}$	0.55 ± 0.03	0.54 ± 0.03	0.68 ± 0.03^a	1.13 ± 0.04^{ab}	0.32 ± 0.02^{abc}

Note: a: vs the control group, $P < 0.05$; b: vs the 20mg/L DADS group, $P < 0.05$; c: vs the 40mg/L DADS group, $P < 0.05$

癌、前列腺癌、直肠癌和白血病等)中均有表达,这表明与肿瘤的恶性转化密切相关^[6]。Bag-1 是一种抗凋亡蛋白,它可以通过与 Bcl-2 结合形成复合物,与雌激素、雄激素及糖皮质激素等的受体结合,通过多种途径抑制细胞凋亡,并可与热休克蛋白 70 作用,发挥多种生理、病理功能^[7]。线粒体途径是细胞凋亡的

一重要的信号转导通路。Bcl-2 家族是在细胞凋亡过程中起关键性作用的一类基因,它们通过调控线粒体结构与功能的稳定性,发挥着细胞凋亡"主开关"的作用^[8]。Bax 是 Bcl-2 家族中研究最广泛的促凋亡蛋白,其定位于细胞浆,自身可形成同源二聚体或与 Bcl-2 形成异源二聚体^[9]。许多细胞凋亡中有 Bax

表达升高。Bax 广泛分布于人体组织和细胞,在多数肿瘤表达下降。

在实验中我们利用 AO/EB 染色法,从形态学方面观察了细胞凋亡的变化。荧光染色观察到,未干预的 K562 细胞核染色质着绿色并呈圆形或椭圆形, DADS 处理后的细胞核染色质为橘红色并呈固缩状或圆珠状。为了进一步验证 DADS 对 K562 凋亡的影响,采用 DNA 琼脂糖凝胶电泳观察基因凋亡,结果显示:DNA 琼脂糖凝胶电泳观察到典型的 DNA 梯形条带。

Bcl-2 家族是在细胞凋亡中有重要作用的一类蛋白质, Bcl-2 家族的表达和调控是影响细胞凋亡的关键因素之一,而 Bag-1 与 Bax 又分别是 Bcl-2 家族中重要的抗凋亡基因和促凋亡基因^[10]。有报道, Bag-1 与 Bax 表达水平与肿瘤发生与转移密切相关^[6]。我们的实验结果表明, Bax 在 K562 细胞中表达水平较低, Bag-1 在 K562 细胞中表达水平较高。不同浓度 DADS 作用 K562 细胞 48h 后, Bax 表达水平较对照组增加 ($P < 0.01$); Bag-1 表达水平较对照组减少 ($P < 0.01$), 提示线粒体途径中的 Bcl-2 家族在诱导 K562 细胞凋亡中起着重要作用。

由此我们认为, DADS 可在体外呈浓度依赖性诱导人白血病 K562 细胞凋亡, 其凋亡机制可能是通过上调 Bax, 下调 Bag-1 表达, 激活线粒体通路实现的。

参考文献(References)

- [1] Brasky TM, Kristal AR, Navarro SL, et al. Specialty Supplements and Prostate Cancer Risk in the VITamins And Lifestyle (VITAL) Cohort [J]. *Nutr Cancer*, 2011 May;63(4):573-582
 - [2] Huang YS, Xie N, Su Q, et al. Diallyl disulfide inhibits the proliferation of HT-29 human colon cancer cells by inducing differentially ex-
-
- (上接第 241 页)
- [7] O'Brien SJ, Nelson GW. Human genes that limit AIDS [J]. *Nature genetics*, 2004, 36, 565 - 574
 - [8] Charles R. CCL3L1 dose and HIV-1 susceptibility [J]. *Trends in Molecular Medicine*, 2005, 11(5): 203-206
 - [9] Kumar V, Prakash O, Manpreet S, et al. Genetic basis of HIV-1 resistance and susceptibility: An approach to understand correlation between human genes and HIV-1 infection [J]. *Indian journal of Experimental biology*, 2006, 44: 683-692
 - [10] Sambrook J, Fritsch EF, Maniatis T. *Molecular cloning: a laboratory manual 2nd ed* [M]. New York: Cold Spring Harbor Laboratory Press, 1989, 243-260
 - [11] 吴乃虎. 基因工程原理(上册) [M]. 2 版. 北京: 科学出版社, 1998: 131-149
 - Wu Nai-lv. *The principle of genetic engineering (Volume)* [M]. 2. Beijing: Science Press, 1998: 131-149

- pressed genes [J]. *Mol Med Report*, 2011 May-Jun;4(3):553-559
- [3] Powolny AA, Singh SV, Melov S, et al. The garlic constituent diallyl trisulfide increases the lifespan of *C. elegans* via skn-1 activation [J]. *Exp Gerontol*, 2011 Jun;46(6):441-452
- [4] Huang YS, Xie N, Su Q, et al. Diallyl disulfide inhibits the proliferation of HT-29 human colon cancer cells by inducing differentially expressed genes [J]. *Mol Med Report*, 2011 May-Jun;4(3):553-559
- [5] Wu PP, Chung HW, Liu KC, et al. Diallyl sulfide induces cell cycle arrest and apoptosis in HeLa human cervical cancer cells through the p53, caspase- and mitochondria-dependent pathways [J]. *Int J Oncol*, 2011 Jun;38(6):1605-1613
- [6] Tsubura A, Lai YC, Kuwata M, et al. Anticancer effects of garlic and garlic-derived compounds for breast cancer control [J]. *Anticancer Agents Med Chem*, 2011 Mar 1;11(3):249-253
- [7] Kanno S, Hiura T, Shouji A, et al. Resistance to Ara-C up-regulates the activation of NF-kappaB, telomerase activity and Fas expression in NALM-6 cells [J]. *Biol Pharm Bull*, 2007 Nov;30(11):2069-2074
- [8] Lin M, Xie HL, Su Q, et al. Effects of diallyl disulfide on differential expression of apoptosis-associated genes in leukemia cell line HL-60 [J]. 2007 Apr;26(4):351-356 (Chinese)
- [9] 刘杨, 邓婷, 胡春宏, 等. 选择性环氧合酶-2 抑制剂对乳腺癌细胞的化疗增敏作用 [J]. *现代生物医学进展*, 2007, 9(9):1684-1686
- Liu Yang, Deng Ting, Hu Chun-hong, et al. Effect of selective COX-2 inhibitors on chemotherapy sensitization for breast cancer cells [J]. *Progress in Modern Biomedicine*, 2007, 9(9):1684-1686
- [10] Antoku K, Master WJ, Scully J, et al. Isolation of bcl-2 binding proteins that exhibit homology with BAG-1 and suppressor of death domains protein [J]. *Biochem Biochem Biophys Res Commun*, 2001, 286(5): 1003-1010
- [12] 陈宏. 基因工程原理与应用 [M]. 北京: 中国农业出版社, 2004: 16-25
- Chen Hong. *Genetic Engineering Principles and Applications* [M]. Beijing: China Agriculture Press, 2004: 16-25
- [13] 杨涛, 杨利军, 程牛亮, 等. 一种构建多拷贝串联小分子多肽基因的方法 [J]. *生物技术通讯*, 2006, 15(6): 974-977
- Yang Tao, Yang Li-jun, Cheng Niu-liang, et al [J]. *letters in biotechnology*, 2006, 15(6):974-977
- [14] 姚玲玲, 王家宁, 黄永章, 等. 利用同尾酶技术构建 pET15b-PEP-1-CAT 重组质粒 [J]. *邵阳医学院学报*, 2006, 25(1):1-5
- Yao Ling-ling, Wang Jia-ning, Huang Zhang, et al. To construct the recombinant plasmid pET15b- PEP-1-CAT with isocaudamer technique [J]. *Journal of yunyang medical college*, 2006, 25 (1) :1-5
- [15] Praznovszky T. Chromosome Engineering with Lambda-Integrase Mediated Recombination System: The ACE System [J]. *Methods Mol Biol*, 2011, 738:141-149